

Punktgitter: in 3d können Punkte \vec{R}_{mn0} durch einen Satz von 3 Gittervektoren $\vec{a}_1, \vec{a}_2, \vec{a}_3$ definiert werden:

$$\vec{R} = m\vec{a}_1 + n\vec{a}_2 + o\vec{a}_3 \quad \text{"Bravais-Gitter"}$$

(primitive) Elementarzelle: Volumen das, wenn es auf den 3 Gittervektoren verschoben wird, den Raum ohne Überlapp und Lücken füllt (EZ) wenn es nur einen Gitterpunkt enthält \rightarrow "primitiv" (PEZ)

Wigner-Seitz-Zelle: die PEZ in der alle Punkte weiter an einem Gitterpunkt sind als an allen anderen \rightarrow Volumen das man in einem reellen Kristallgitter jedem Punkt zuordnen kann.

Basis: was an dem Gitterpunkt an sich, also die Bausteine des realen Kristalls ein oder mehrere Atome oder sogar komplexe Moleküle (Proteine lassen sich kristallisieren!)

Bravaisgitter + Basis = Kristall

2.2. Bestimmung der Kristallstruktur

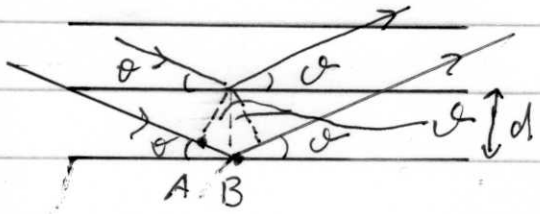
Viele Strukturergebnisse; bei weitem am wichtigsten Röntgenbeugung (X-ray diffraction) wichtig nicht nur in Festkörperphysik, sondern ebenso Strukturbiologie. Für alles, was sich kristallisiert

lässt kaum Strukturen durch Streuung aufgeklärt werden. Wichtigste Röntgen: Röntgenbeugung

Röntgenbeugung wurde 1912 durch Max von Laue entdeckt und formal beschrieben (Nobelpreis 1914); wollte Zitterfeuer von Röntgenstrahlen zeigen, Idee: Kristall als Beugungs- gitter. Mitarbeiter ließen kollinierten Strahl in Bleibox auf präzise orientierten Kristall treffen, darunter und seitlich photographische Film → Intensitätsmaxima → Beweis, daß Röntgenstrahlen lichtwellen sehr kurze Wellenlänge

Eine sehr einfache alternative Beschreibung, 1913 durch Braggs Vater und Sohn, führte Schaeffer zu Erfolg in Struktur aufklärung (z.B. NaCl und CsCl) (Nobelpreis 1915)

Idee (Lawrence Bragg (Sohn)): Beugungsmaxima können mathematisch durch Reflexion an sukzessiven parallelen Ebenen (Gitterebenen) beschrieben werden. Legt Ebenen so, daß sie durch Gitterpunkte gehen



Gangunterschied:

$$2AB = 2d \sin \beta = n\lambda$$

"Braggbedingung"

Konstruktive Interferenz, wenn Gangunterschied ganz zahliges Vielfaches der Wellenlänge kaum erfüllt werden, wenn $\lambda < 2d$, kurz!

Pulsus bei einer Wellenlänge, bei richtigen Winkel scharfe Maxima. Vater Henry Bragg baute das für Untersuchungen nötige Spektrometer

Bragg Theorie \rightsquigarrow Abstände zwischen Gitterebenen; wenn alle Ebenen gefunden \rightsquigarrow Typ des Bravais-Gitters

Generelle Beschreibung von Röntgenstrahlung (von links): ein Feld der Röntgenstrahlen versetzt Atome des Gitters bei Oszillation \rightsquigarrow Emission neuer Röntgenstrahlung in Form von Kugelwellen von jedem Gitterpunkt \rightsquigarrow interferieren

Röntgenquelle weit von Strukturfrei (Kristall) Behandlung als ebene Welle, em. Feld vom Typ $\vec{E}(\vec{r}, t) = \vec{E}_0 \exp(i\vec{k} \cdot \vec{r} - \omega t)$ Wellenvektor \vec{k} in Propagationsrichtung der Röntgenquellen mit $k = 2\pi/\lambda$ ($k \equiv |\vec{k}|$) E -Feld I zu komplexem Feld \vec{E} , Realteil Intensität $I(\vec{r}, t) = |\vec{E}(\vec{r}, t)|^2 = E_0^2$ konst.

betachte Struktur einer einfallenden ebenen Welle an Strukturfrei in Position \vec{r} wenn Quelle in \vec{R}

 [Fig. 2-1]

einfallende, Feld

$$\vec{E}(\vec{r}, t) = \vec{E}_0 \exp(i\vec{k} \cdot (\vec{r} - \vec{R}) - i\omega t)$$

$$\vec{E}(\vec{r}, t) \propto \exp(i\vec{k} \cdot (\vec{r} - \vec{R})) \exp(-i\omega t)$$

kleines Volumenelement dV, charakterisiert durch lokale Elektronenladungsdichte $g(\vec{r})$ emittiert Kugelwelle

$$\exp(i\vec{k}/|\vec{R}' - \vec{r}|) / |\vec{R}' - \vec{r}|$$

da Detektor ebenfalls weit entfernt, erscheint im Hinterer $\vec{R}' - \vec{r}$ durch $|\vec{R}'| = R'$

wenn $g(\vec{r})$ zeitunabhängig \sim elastische Streuung gestreute Welle am Ort des Detektors ebene Welle mit Wellenvektor \vec{k}' in Richtung $\vec{R}' - \vec{r} \approx \vec{R}'$

$$\text{d.h. } \omega = \omega' \quad k = k'$$

gestreute Welle $\exp(i\vec{k}' \cdot (\vec{R}' - \vec{r})) / R'$

ein Feld am Ort des Detektors

$$\vec{E}(\vec{R}', t) \propto \exp(i\vec{k} \cdot (\vec{r} - \vec{R})) \exp(-i\omega t) g(\vec{r}) \exp(i\vec{k}' \cdot (\vec{R}' - \vec{r})) / R' \\ \times \underbrace{\frac{\exp(i\vec{k} \cdot \vec{R}) \exp(i\vec{k}' \cdot \vec{R}')}{R'}}_{\text{konstant}} \exp(-i\omega t) g(\vec{r}) \exp(i(\vec{k}' - \vec{k}) \cdot \vec{r})$$

wenn Streuung schwach \sim alle Streuzentren seien gleiche Amplitude (äquivalent der Bornischen Näherung)

ein Feld am Ort des Detektors ist Überlagerung aus gestreuten Wellen von allen Streuzentren im Kristall mit Volumen V

$$\vec{E}(\vec{R}', t) \propto \exp(-i\omega t) \int_V g(\vec{r}) \exp(-i\vec{k} \cdot \vec{r}) dV$$

mit Streuvektoren $\vec{k} = \vec{k}' - \vec{k}$ (äquivalent zu Impulsübertrag q)

Wellenlänge der gestreuten Quanten \approx Abstand der Atome \approx man kann mit diesen Verständnissen keine Amplituden messen, nur Intensität

$$I(\vec{k}) \propto \left| \int_V g(\vec{r}) \exp(-i\vec{k} \cdot \vec{r}) dV \right|^2$$

seht Intensität der gestreuten Welle in Beziehung zur Fouriertransformation von $g(\vec{r})$ bezüglich Struvektoren \vec{k} ; je kleiner die Strukturen desto größer umso \vec{k} sein.

beachte Kristall als periodisches Gitter und führe "rekiproches Gitter" ein

Definiere für Bravais Gitter $\vec{R} = m\vec{a}_1 + n\vec{a}_2 + o\vec{a}_3$ ein rekiproches Gitter ~~als~~ als Satz von Vektoren \vec{G} mit $\vec{R} \cdot \vec{G} = 2\pi l$ (l ganzzahlig)

$$\text{d.h. } \exp(i\vec{G} \cdot \vec{R}) = 1$$

umso für jeden Gittervektor \vec{R} gelten und für jedes \vec{G} schreibe $\vec{G} = m'\vec{b}_1 + n'\vec{b}_2 + o'\vec{b}_3$ mit m', n', o' ganzzahlig

dieses rekiprohe Gitter \vec{G} ist ebenfalls ein Bravais-Gitter. Die Gittervektoren $\vec{b}_1, \vec{b}_2, \vec{b}_3$ spannen das rekiprohe Gitter auf; können aus den Gittervektoren \vec{a}_i konstruiert werden

$$\vec{b}_1 = 2\pi \frac{\vec{a}_2 \times \vec{a}_3}{\vec{a}_1 \cdot (\vec{a}_2 \times \vec{a}_3)} \quad \vec{b}_2 = 2\pi \frac{\vec{a}_3 \times \vec{a}_1}{\vec{a}_1 \cdot (\vec{a}_2 \times \vec{a}_3)}$$

$$\vec{b}_3 = 2\pi \frac{\vec{a}_1 \times \vec{a}_2}{\vec{a}_1 \cdot (\vec{a}_2 \times \vec{a}_3)}$$

daraus folgt $\vec{a}_i \cdot \vec{b}_j = 2\pi \delta_{ij}$
 (dann folgt $\vec{R} \cdot \vec{G} = 2\pi l$)

dann kann man $\exp(i\vec{G} \cdot \vec{r}) = \exp(i\vec{G} \cdot \vec{r}) \exp(i\vec{G} \cdot \vec{R})$
 $= \exp(i\vec{G}(\vec{r} + \vec{R}))$ schreiben

d.h. Vektoren des ursprünglichen Gitters sind Wellenvektoren, die ebene Wellen mit der Periodizität des Bravais-Gitters ergeben.

Physikalische Bedeutung des reciproken Gitters

erlaubt einfache Beschreibung periodischer Eigenschaften eines Gitters

einfachster Fall: 1-dim Gitter, d.h. eine Kette von Punkten mit Abstand a ; periodische Funktion des Gitters ist (adrem) gleich entlang der Kette, also $g(x) = g(x+a)$
 kann allgemein als Fourierreihe geschrieben werden

$$g(x) = \sum_{n=-\infty}^{\infty} g_n \exp(ixn 2\pi/a)$$

mit n ganzzahlig und

mit komplexen Koeff. g_n . Damit $g(x)$ reelle Funktion, muss gelten $g_n^* = g_n$

zum 1-d Gitter mit Punkten im Abstand a
 ist $g = n 2\pi/a$ der reciproke Gittervektor
 $g(x) = \sum_{n=-\infty}^{\infty} g_n \exp(ixg)$, d.h. $g(x)$ ist Summe von Funktionen mit der Periodizität des reciproken Gitters, gewichtet mit Koeff. g_n

zu Illustration \rightarrow Fig 2-2)

offensichtlich einfacher, statt $g(x)$ an jedem Punkt x anzugeben, es durch 2 bzw 3 Fourierhöft auszudrücken

Analog in 3 Dim: $g(\vec{r}) = \sum_{\vec{G}} g_{\vec{G}} \exp(i \vec{G} \cdot \vec{r})$
 \vec{G} eindet sich durch Koordinaten h, k, l bezüglich der Basis vektoren, also erst Punkt: einfache Beschreibung von gitterperiodischen Funktionen.

noch wichtige: • Beobachtung von Wellen in Kristall, wie z.B. Röntgenwellen, Phonenen, d. Wellenfunktionen

Röntgenstruktur und reciprokes Gitter

sehe $g(\vec{r})$ in Strukturintensität (oben) ein
 $I(\vec{K}) \propto |\sum_{\vec{G}} g_{\vec{G}} \underbrace{\exp(i(\vec{G} - \vec{K}) \cdot \vec{r})}_{\text{ebene Welle mit Wellenzahl } \vec{G} - \vec{K}} dV|^2$

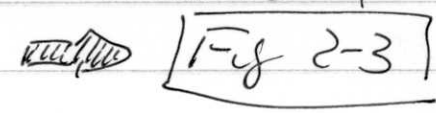
Kristall groß, d.h. Integration wird über alle Höhen und Tiefen der Funktion im Mittel 0 oder sehr kleinen Wert ergeben mit 1 Ausnahme: wenn $\vec{K} = \vec{G} \sim \exp(-\infty) = 1$
 "von-Laur-Bedingung" für konstruktive Interferenz
 kann für jedes \vec{G} nur von einer Struktur \vec{K} erfüllt werden; in 3d ~ 3 separate Bedingungen für jede der 3 Komponenten

\vec{G} definiert durch die 3 Indizes hkl bezüglich der reziproken Gittervektoren \vec{g}_i
 diese Indizes charakterisieren den gebauten Strahl $I(\vec{k} = \vec{G}) = I_{hkl} \propto |g_{hkl}|^2$
 Notation für negative hkl : $I_{\bar{h}\bar{k}\bar{l}}$
 wegen $g_n = g_{-n}^* \sim I_{hkl} = I_{\bar{h}\bar{k}\bar{l}}$ "Friedel'sche Regel"

führt dazu, daß es im Röntgenbild nur ein Divergenzfehler gibt auch wenn Kristallstruktur keines aufweist

Volumenabhängigkeit der Intensität der Beugungsmaxima: $I \propto |f - dv|^2$ ergibt Parabol $I \propto V^2$ erstaunlich aber: Beugungspeaks werden immer schärfer, je größer Volumen, Breite $\propto V^{-1} \sim$ nicht Intensität $\propto V$

ein Bragg Problem gelöst, aber: da nicht Amplituden sondern Intensität gewesen wird, ist Phaseninformation verloren und Messung von $I(\vec{k})$ ergibt nicht direkt \vec{G} . Umkehrweg (wie im Fall von Vektoren und Skalarprodukten): wähle Modell, berechne Beugungsbild, vergleiche mit Daten, iteriere -- bis zufrieden.

Ewald Konstruktion: 1913 von P. Ewald
gefunden und veröffentlichte gleich Konstruktion
der "van-Lau-Bedingung" 

Schritt durch reziprokes Gitter mit reziproken Gitterpunkten G_{mn} :

- zeichne Wellenvektor \vec{k} in die einfallenden Röntgenwelle, so daß er im Ursprung endet
- Knic am Startpunkt von \vec{k}
- sobald Knic durch einen reziproken Gitterpunkt geht ist van-Lau-Bedingung erfüllt und in Richtung \vec{k}' wird konstruktiv gestreut gefunden. Für 3d Kugel statt Knic.

Man kann zeigen, daß Bragg-Theorie ein Spezialfall der van-Lau-Theorie ist.

Streubedingung $\vec{K} = \vec{G}$ existiert

Positionen der Strukturzusatz ab und nicht Zirkularität;

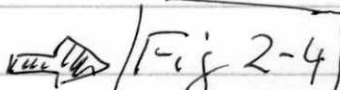
benötigen dann die Fourierkoeffizienten

$$S_{\vec{G}} = S_{\text{Rne}} = \frac{1}{V_{\text{EZ}}} \sum_{\alpha} g(\vec{r}) \exp(-i \vec{G} \cdot \vec{r}) dV$$

Umkehrung der Fourierreihen für $g(\vec{r})$ (oben)

$g(\vec{r})$ ist Elektronendichte; außer bei den leichtesten Elementen stark konzentriert um Atomkern. Integral wird daher sinnvollerweise aufgegliedert in Integrale über einzelne Atome. Diese werden dann mit entsprechenden Phasen addiert.

Werkzeuge hierfür: $\vec{r} = \vec{r}_n + \vec{r}_{\alpha} + \vec{r}'$

\vec{r}_n Ursprung der unitären Einheitszelle  [Fig 2-4]

\vec{r}_{α} Position eines Atoms innerhalb "

\vec{r}' Position außerhalb des Atoms

$$S_{\text{Rne}} = \frac{1}{V_{\text{EZ}}} \sum_{\text{Atome}} \exp(-i \vec{G} \cdot \vec{r}_{\alpha}) \int_{\text{Volumen eines Atoms}} g_{\alpha}(\vec{r}') \exp(i \vec{G} \cdot \vec{r}') d\vec{r}'$$

"Atomare Sturzhalter" f_{α}

In grober Näherung ist Elektronenverteilung innerhalb des Atoms sphärisch

$$f_{\alpha} = 4\pi \int g_{\alpha}(r') r'^2 \sin \frac{Gr'}{G_{\text{V}}} dr' \quad (\text{siehe Struktur am Atom vom Modul 1})$$

Bräuchte jetzt $g_{\alpha}(r')$ um weit zu machen

Winkel zwischen \vec{K} und \vec{G} ist $\theta = 2\varphi$ (siehe Bragg-Bild)

und $G = 2k_0 \sin \frac{\vartheta}{2}$ (siehe oben Modul 1 $\frac{a}{2} = p \sin \frac{\vartheta}{2}$)

d.h. atomare Struktur ist vorwärts gespachtelt

$$\text{für } \theta=0 \quad f_a = 4\pi \int g(r') r'^2 dr'$$

$f_a \propto ?$ für Röntgenbeugung

Summation über alle Atome \approx Strukturfaktor $S_{hk\ell} = \sum_{\text{Atome}} f_a \exp - i \vec{G}_{hk\ell} \cdot \vec{r}_a$

für primitive Gitter (1 Atom pro E2)

$$\text{ist } S_{hk\ell} = f$$

- gewöhnlich hängt Beugungsbild von der Art des Gitters und der Basis (welche Atome, ob identisch - z.B. $C_{11} \leftrightarrow C_{57} - ab$)
- Form und Dimensionen der E2 aus Bragg-Reflexionen
- Führt die Zelle aus Zirkularitäten

2.3. Methoden der Strukturanalyse

Streuung von Röntgenstrahlen, Elektronen, Neutronen, Atomen und - bedingt - auch Mikroskopie

Wellenlänge der Strahl umfasst jeweils die Bragg-Bedingung erfüllen

Elektronen 0.1 - 1 keV

Neutronen 0.1 - 1 eV

 Fig 2-5

2.3.1. Röntgenbeugung

Quelle : - Röntgenröhre, Beschleu/3 eines Materials mit Elektronen → Guissian charakteristischer Röntgenlinien + kontinuierliches Bremsstrahlungsspektrum
 - Synchrotronstrahlung, hohe Zentrfeld und Kollimation, 100% polarisiert z.B. DORIS & PETRA bei DESY, BESSY in Berlin, ESRF Grenoble, USA: NSLS Brookhaven, ALS Berkeley

Prinzip Synchrotronstrahlung: jeder Strahl auf Kreisbahn (Beschl. Ladung) verliert Energie durch Bremsstrahlung

Teilchen in Orbital mit Radius R und Geschwindigkeit $v = \beta c$

$$\text{abgesetzte Leistung } P = \frac{2e^2c}{3R^2} \frac{\beta^4}{(1-\beta^2)^2} \xrightarrow{\beta \rightarrow 1} \frac{2e^2c\gamma^4}{3R^2}$$

$$\text{Umlauf} = \frac{2\pi R}{v} \quad \Delta E_{\text{Umlauf}} = \frac{4\pi e^2 \gamma^4}{3R}$$

in einer "lightsource" wird R möglichst klein gewählt, Teilchen sind immer Elektronen (kleine Masse \rightarrow großes γ)

3 Verfahren:

a) Drehkin'stall-Verfahren

monochromatische Strahlung, Probe (Drehkin'stall)

typisch photogr. Filme

wird gedreht, Detektor fest, zylindrisch um Rotator,
sobald ein Satz von Ebenen die Bragg-Bedingungen
erfüllt → Beugungsbild (Punkt) \Rightarrow Fig 2-6

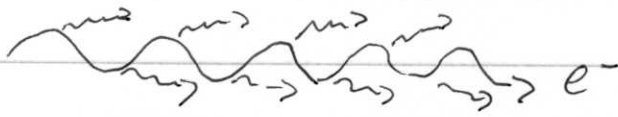
b) Pulver oder Debye-Scherer Verfahren
ebenfalls monokristalline Schichtung, Probe
umkristallin (Pulver). Orientierung der einzelnen
Körner zufällig, für jeden Satz von
Gitterebenen werden einige Körner die richtige
Orientierung haben, um Bragg-Bedingung zu
erfüllen. Vorteil: messet alle Gitterebenen
auf einmal. Strahlung an jedem Ebenensatz \rightarrow
Körner auf Winkel ϑ in verschiedenen Körnern \Rightarrow Fig 2-
Satz von Winkel + Intensitäten \rightarrow Schicht
bildet, gut Auflösung für nicht gestreckt
Quarzen ($\delta \approx 90^\circ$) → sehr gutes Ol (z.B.
Zur Untersuchung thermischer Expansion)

\Rightarrow Fig 2-7

c) von-Lamé-Verfahren
kontinuierliche Röntgenstrahlung, Probe
Einkristall ortsfest, ebenso Detektor
Symmetrie des Kristalls gilt nicht mehr, kann
zur Orientierung von Einzelkristallen verwendet
werden; typischerweise \Rightarrow Fig 2-8
1 Film vorwärts (Durchstrahlung auf-
nahmen) + 1 Film rückwärts (Reichstrahlung)

jede Satz von Gitterebenen erfüllt Bragg-Bed.
für eine best. Wellenlänge oder mehrere

neue Röntgenquellen: interne Synchrotron quellen
Vanderlätzen - Stahl wird in Wellenbewegung
versetzt, in jedem
Knick Emission
Belusschallung



Kohärenz, Verstärkung

X-FEL DESY SASE Prinzip

Strukturaufklärung z.B. eines Proteins in 1 Schuß
danach zerstört

Was kann Röntgenstrahlung nicht? Strahlintensität
 $\propto Z^2$, d.h. Wasserstoff in der Nähe schwerer
Kerne sehr schwierig

2.3.2 Neutronenstrahlung

Wirkungsquerschnitt gleiche Größenordnung für alle
Elemente; speziell gut für organische Materialien und
Polymere z.T. auch sehr gute Transparenz durchbar
Elemente wie z.B. Fe, C, Ni $\Rightarrow \text{Fig. 2-9}$

Neutronen ungeladen, Ww ist starke Kraft, nur
bei genügendem Abstand (10^{-15} m) \sim charakterisiert
durch sogenannte Skalänge b ; $\delta = \pi b^2$
Fokusfertigkeit der Beugung maxima $\propto \delta$
da Streuung des Neutrons an einem einzelnen Kern, kein Abfall um I mit r

Neutron hat mag. Moment ($\mu_N = -1.9 \mu_B$)
kann zur Aufklärung mag. Ordnung in
Festkörper eingesetzt werden

Schwierigkeit: • intensive Neutronenquellen
erste Neutronenstrahlung bereits ca 1930 gem.
aber erst richtig seit 1945 - Reaktoren

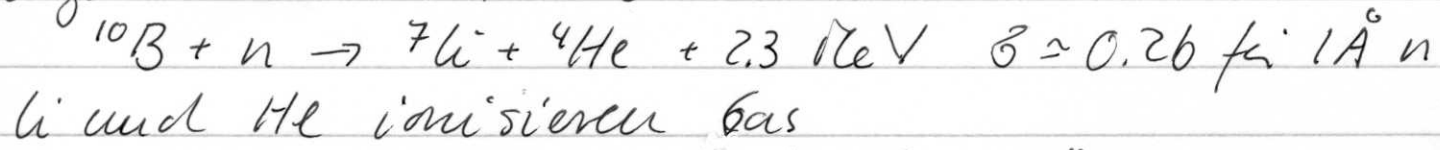
Erinnerung: no Spaltungs liefert Reaktor etwa
1 Neutron, ca 1 MeV kin. Energie durch Moderator
werden thermische Neutronen produziert → rich-
tig Wellenlänge p. Gitterstruktur
typische Reaktoren p. Strukturaufklärung:

HF-Reaktor ILL Grenoble intensive Neutronen-
quelle $1.5 \cdot 10^{15} n/cm^2 \cdot s$ alle 46 Betriebsstufen wird

Brennelement ausgetauscht; auch FRNC II/TU07
in jüngst mit durch Spallationsneutronen-
quellen (SMQ) (z.B. erste SNS Oak Ridge NatLab)
250 - 1000 MeV Protone auf schweres Target (T_{α}, W)
schlagen Neutronen heraus & gepulster Neutronen-
strahl, typisch Puls 10 μs, MeV Neutronen
Modierung mit Paraffin oder
Polyäthylen.

zu Fokussierung keine elektrischen Felder wie
in Beschleunigern sondern nur Blenden (Cd, B...)

• Neutronenachweis: für niedrige energetische Neu-
tronen Proportionalzähler gefüllt mit BF_3 -Gas
ausgerichtet mit ^{10}B



Alternativer: Flugzeitmetrode 2 Å Neutron hat
 $v = 2000 \text{ m/s}$. Mit gepulstem Neutronenstrahl

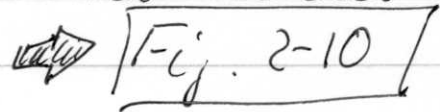
und Neutronen detektor in einigen m Abstand
gut zu messen

für kontinuierlichen Stahl: "Copper", d.h.
für Neutronen opake Schleife mit Schlitzen,
rotierend, zerhackt Neutronenstahl in
Stücke

mit de Broglie Beziehung \rightarrow Flugzeit $\propto \lambda$

$$t_c = \frac{\lambda m_n c^2 L}{hc} \quad \text{und mit Bragg-Bedingung}$$

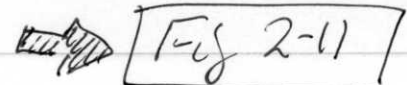
$$t_c = \frac{m_n c^2 L}{hc} \quad \frac{2d}{n} \sin \theta$$

beobachtet mit festem Winkel 2θ rel. zu Grav-
fallrichtung $I(t) = I(\lambda)$ 

Alternative: Kristallmonochromator, der auch
als Analyseator verwendet wird (beide Rollen
verwendet für Bragg Bed), da zwischen Probe
Wichtigste Anwendung: H & mag. Strukturen
Weiters Beispiel: Phasenübergänge geordnet
 \leftrightarrow ungeordnet

Z.B. Fe-Co Legierung, kristallisiert bcc
bei schnellem Abkühlen von hoher Temp.
nehmen Fe und Co zufällige Gitterplätze
ein, bei langsamem Abkühlen (scf Struktur)
zufällige Anordnung durch syst. Auslösung
best. Interferenzlinien (Summe $h+k+l$ ungerade). Sichtbar ist geordnetes Gitter,
da Steinlänge für Neutronen an Fe und Co
Faktor 2.5 verschieden

für Röntgenstrahlen unüblich



2.4 Unordnung im Kristallgitter

mechanische und elektrische Eigenschaften
in Festkörpern weitgehend durch Defekte
in der Kristallstruktur dominiert. (Demo)

3 Klassen:

a) Punktdefekte

[Fig. 2-12]

geometrisch - Leerstelle

- Eigenatom auf Zwischenlagerplatz

chemisch (Verunreinigung o. Dotierung)

- Fremdatom auf Gitterplatz

- " " Zwischenlagerplatz

Eigenatom auf Zwischenlagerplatz = Frenkeldefekt

" + Leerstelle = Frenkelpaar

Kostet Energie ΔE , abw. erlischt bei endlicher Temperatur, da es Entropie erhöht (viele mögl. Konfigurationen)

n_L Leerstellen auf N Gitterplätzen

$N! / n_L! (N-n_L)!$ Kombinationen

ebenso für n_{int} Atome auf Zwischenlagerplätzen

$N'! / n_{int}! (N'-n_{int})!$ Komb.

für Frenkelpaar $n_L = n_{int} = n$ Entropie S

$$S = k \ln \frac{N!}{n!(N-n)!} + k \ln \frac{N'!}{n'!(N'-n)!}$$

freie Energie $F = n \Delta E - TS$

Gleichgewichtskonzentration durch Minimierung von F $dF/dn = 0$

$$\langle n \rangle \approx \sqrt{N N'} \exp(-\Delta E / 2kT)$$

für $\langle n \rangle \ll N, N'$
exp. Austrag u. T

b) Lückendefekte - Stufenverschrenge
- Schrauben "  [Fig. 2-13]

typischerweise große Ausdehnung im Kristall für mechanische Eigenschaften besonders wichtig.

so übersichtlicher z.B. reine Metalle, die durch Temperaturkristalle sind, Elastizitätsmodul bei den Größenordnungen kleiner & Verformungen als abgedichtet aus Stärke der Brüder und Hooke'schen Geset. (bei reinem Al ^{Fahrt}_{6.104!})

- mechanisch günstige, reine Lückendefekte leitern leichter ab als Abritt gegen alle Brüderungen im Kristall zu lassen. Ist an der Oberfläche, Defekt wandert rückwärts leicht Reihe um Reihe bis Defekt durch ganzen Kristall geht "easy glide Regime"  [Fig 2-14] allmählich bilden sich bei weiterer Verformung und unterschiedliche Subzessive Verbogen mehr Stufenverschrenge, die sich in ihrer Bewegung behindern \rightarrow Verformung schwieriger; durch "Vorstufen" wird Stärke größer

wenn Material polykristallin, verhindern Korngrenzen Wandern der Stufenverschrenge \rightarrow viel resistent als Einkristall (in Al Fahrt 60%)

kleine Verunreinigungen mit Fremdatomen machen Material noch viel stärker! sogenanntes "Pinning", Lückendefekt kann nicht jenseits

Freudatome wandern (z.B. Härtung von Eisen durch Zusatz von etwas Kohlenstoff (Carbonstahl)) (siehe 2-14)

- c) Flächendefekte - Stapelfehler
 - Kongruenter
 - Grenzfläche / Oberfläche

2.5. Mikroskopie

Wir verwenden Rastertunnel- bzw. Rasterelektronenmikroskopie (STM) Binnig / Rohrer (1986)
 1981 (Nobelpreis Physik 1986)

Vermisst Struktur der Oberfläche mit atomarer Auflösung

 Fig 2-15

Prinzip: scharf metallische Spule (am vordersten Sonderende 1 Atom!) wird zur untersuchenden elektrisch leitende Oberfläche bis auf einige Å angehoben. Bei Anlegen einer el. Spannung tunnen Elektronen zwischen Spule und Probe Strom. Strom hängt exponentiell vom Abstand (Dicke der Tunnelbarriere) ab - typischerweise fällt 10 pro Å.

Justieren durch sehr feine Bewegung (piezoelektrische, Länge ändert sich als Funktion einer angelegten Spannung) beim Abtasten der Oberfläche um kein Tunnelstrom zu erreichen. - Bezugspunkt genau für Gitterabstände, - STM wesentlich empfindlicher für Störstellen

Fig